Gráficas y análisis estadísticos de las variables 'body length', 'tubercles 1b apart' y 'tarsus I length', del artículo de Magund 2007

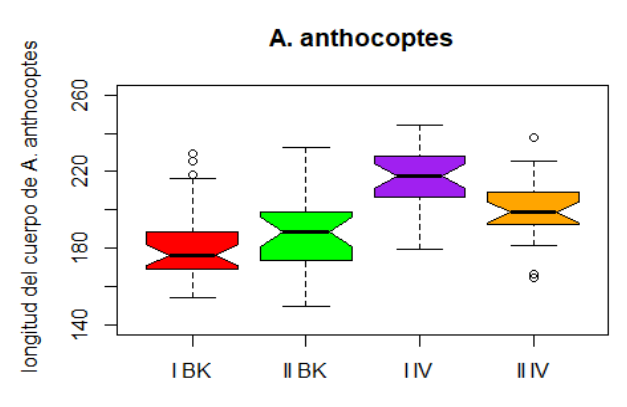
Grupo A, E.

Mayra Alejandra Galezo Suárez - 2180012 Angie Fernanda Hernández Narváez -Erika Juliana Melgarejo Carvajal – 2180009

CONVENCIONES

I **BK** = localidad Bez anijska Kosa con *Cirsium arvense* variedad vestitum II **BK** = localidad Bez anijska Kosa con *Cirsium arvense* variedad arvense

I IV = localidad Ivanjica con *Cirsium arvense* variedad vestitum II IV = localidad Ivanjica con *Cirsium arvense* variedad arvense



localidades para las dos variedades de C. arvense

Figura 1. Longitud del cuerpo de A. anthocoptes para las dos variedades de C. arvense en las localidades de Bez^{*}anijska Kosa (BK) e Ivanjica (IV)

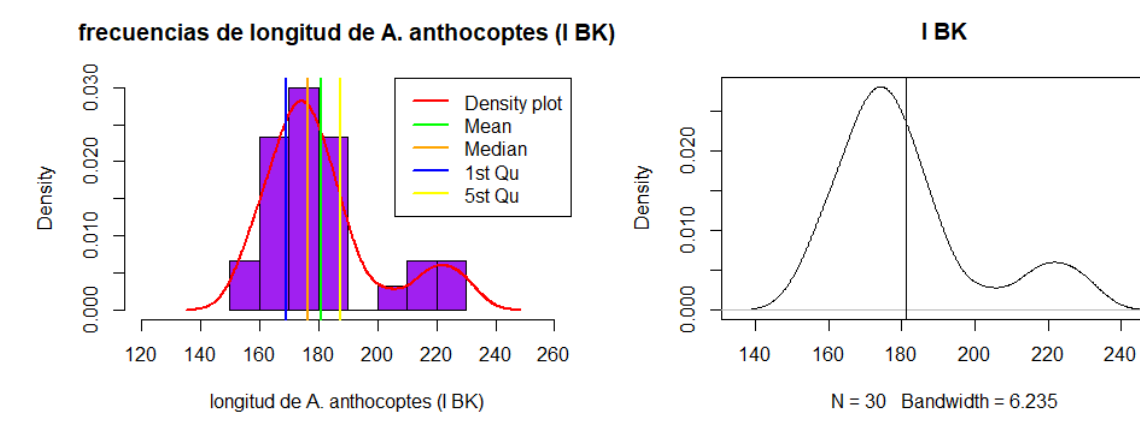


Figura 2. Datos estadísticos para la var. Vestitum de *C. arvense* en la localidad de Bez*anijska Kosa.

Figura 3. Asimetría de la distribución de los datos.

frecuencias de longitud de A. anthocoptes (II BK) 0.020 Density plot Mean Median Density 0.010 1st Qu Density 0.010 5st Qu 0.000 0.000 120 260 120 140 160 180 200 220 240 longitud de A. anthocoptes (II BK)

Figura 4. Datos estadísticos para la Var. arvense de *C. arvense* en la localidad de Bez^{*}anijska Kosa.

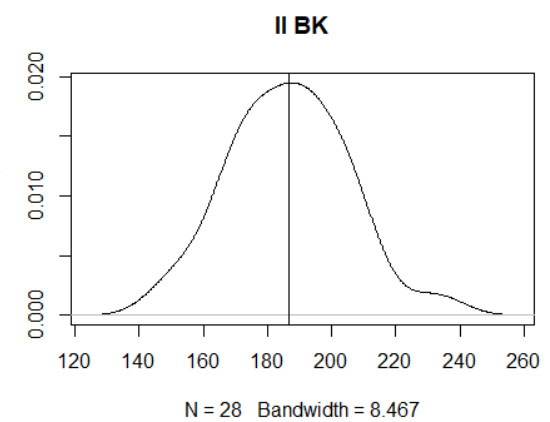


Figura 5. Asimetría de la distribución de los datos.

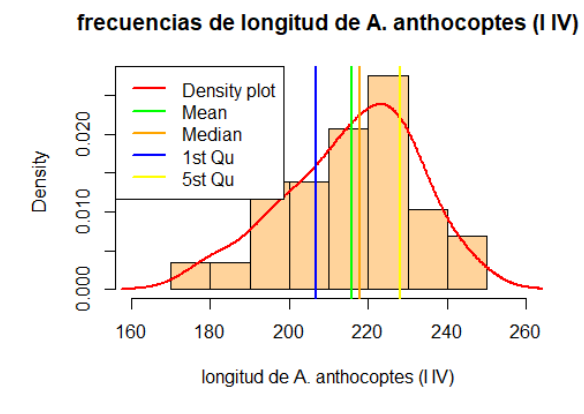


Figura 6. Datos estadísticos para la Var. Vestitum de *C. arvense* en la localidad de Ivanjica

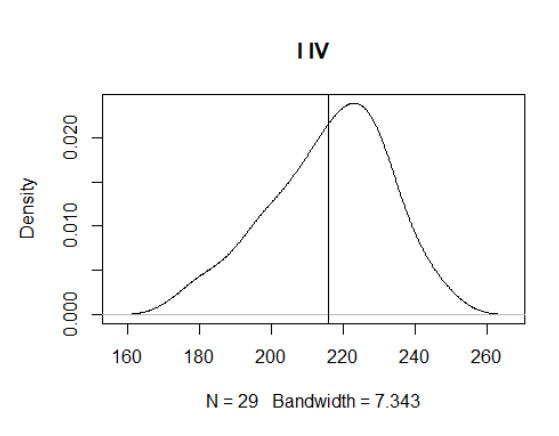


Figura 7. Asimetría de la distribución de los datos.

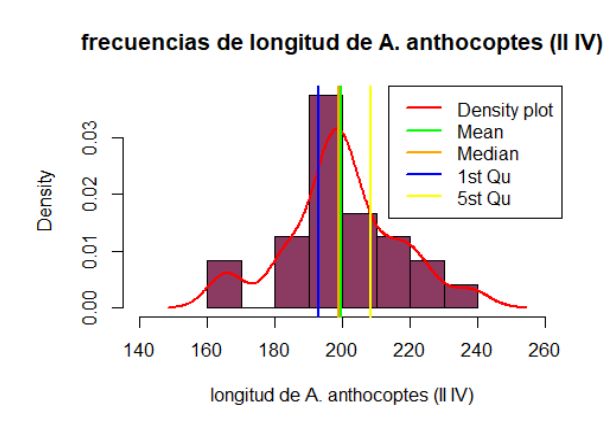


Figura 8. Datos estadísticos para la Var. arvense de *C. arvense* en la localidad de Ivanjica

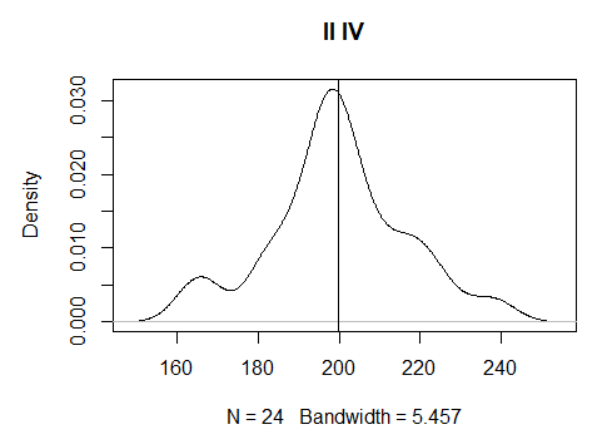


Figura 9. Asimetría de la distribución de los datos.

Gráficas variable 'tubercles 1b apart'

A. anthocoptes

Figura 10. Longitudes de tubérculos de A. anthocoptes para las dos variedades de C. arvense en las localidades de Bez*anijska Kosa (BK) e Ivanjica (IV)

localidades para las dos variedades de C. arvense

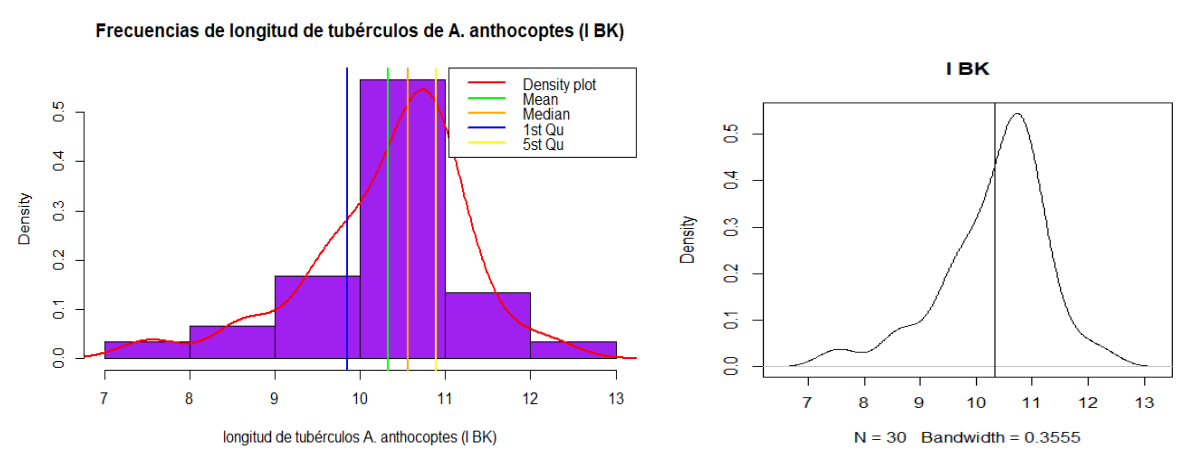


Figura 11. Datos estadísticos para la var. Vestitum los de *C. arvense* en la localidad de Bez*anijska Kosa.

Figura 12. Asimetría de la distribución de datos.

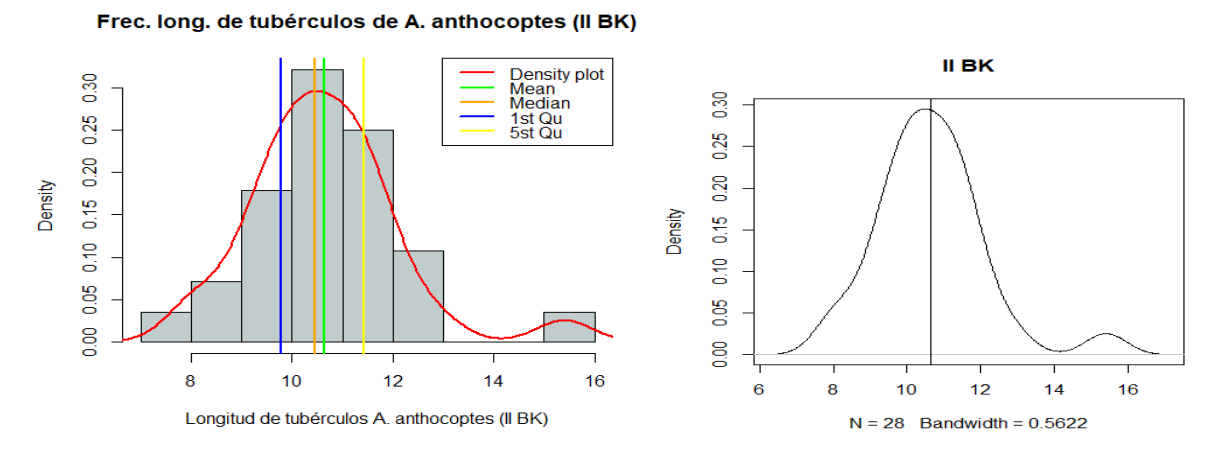


Figura 13. Datos estadísticos para la Var. arvense los de *C. arvense* en la localidad de Bez anijska Kosa.

Figura 14. Asimetría de la distribución de datos.

Frec. de longitud de tubérculos A. anthocoptes (I IV)

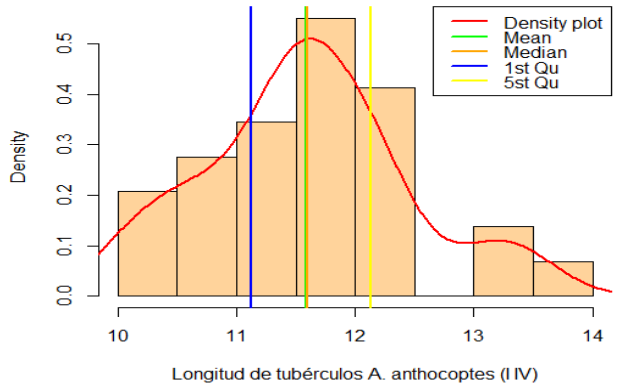


Figura 15. Datos estadísticos para la Var. Vestitum los de *C. arvense* en la localidad de Ivanjica.

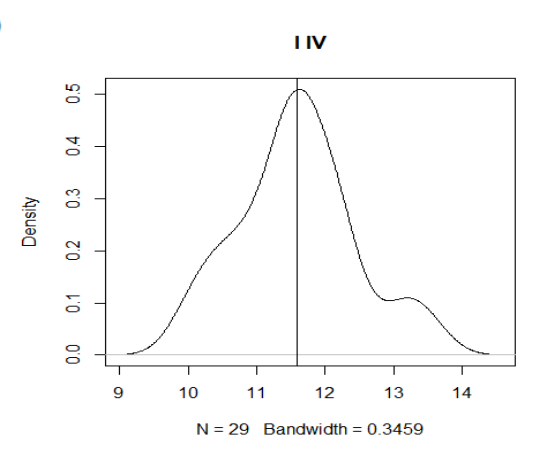


Figura 16. Asimetría de la distribución de datos.

Frec. long. tubérculos de A. anthocoptes (II IV)

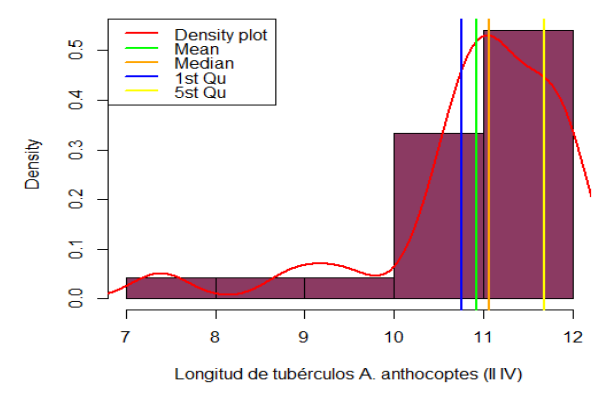


Figura 17. Datos estadísticos para la Var. arvense los de *C. arvense* en la localidad de Ivanjica

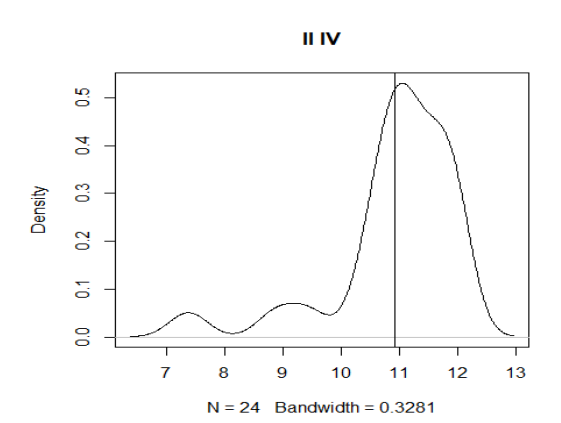


Figura 18. Asimetría de la distribución de datos.

Gráficas variable 'tarsus I length'

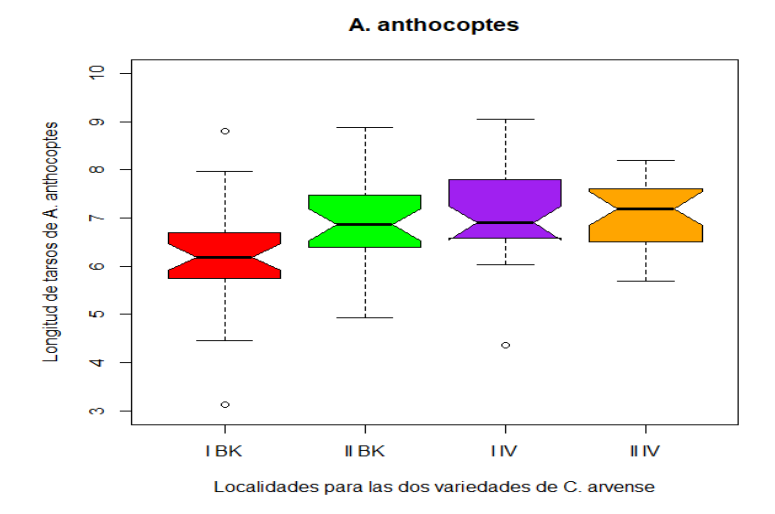


Figura 19. Longitud de los tarsos de A. anthocoptes para las dos variedades de C. arvense en las localidades de Bez*anijska Kosa (BK) e Ivanjica (IV).

Density plot Mean Median 1st Qu 5st Qu

Frec. longitud de tarsos de A. anthocoptes (I BK)

Figura 20. Datos estadísticos para la var. Vestitum los de *C. arvense* en la localidad de Bez anijska Kosa.

6

tarsos de A. anthocoptes (I BK)

8

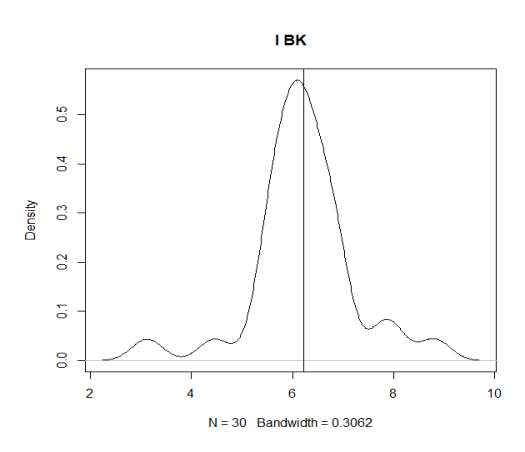


Figura 21. Asimetría de la distribución de datos.

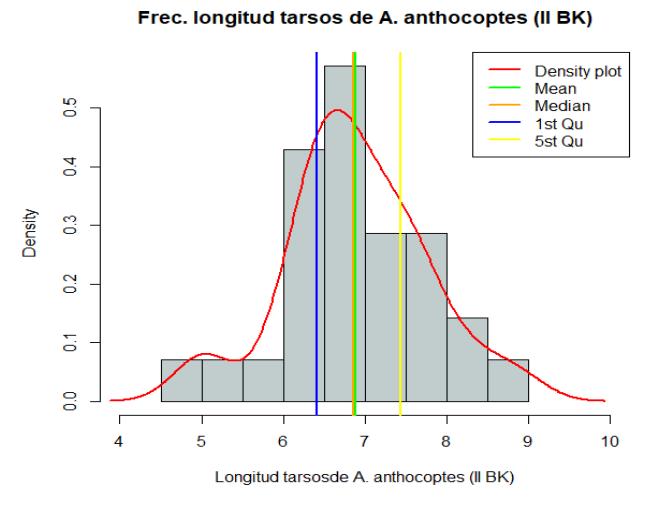


Figura 22. Datos estadísticos para la Var. arvense los de *C. arvense* en la localidad de Bez*anijska Kosa.

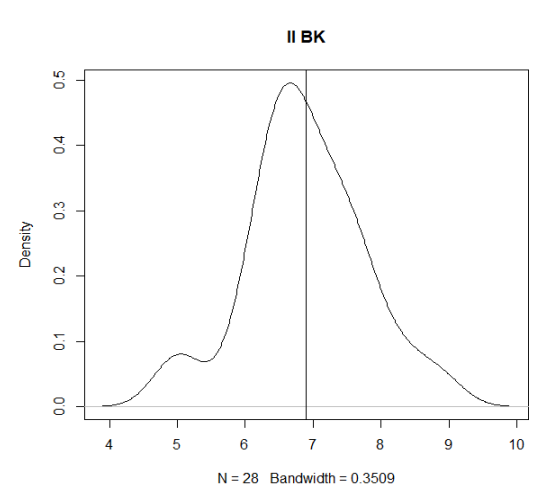


Figura 23. Asimetría de la distribución de datos.

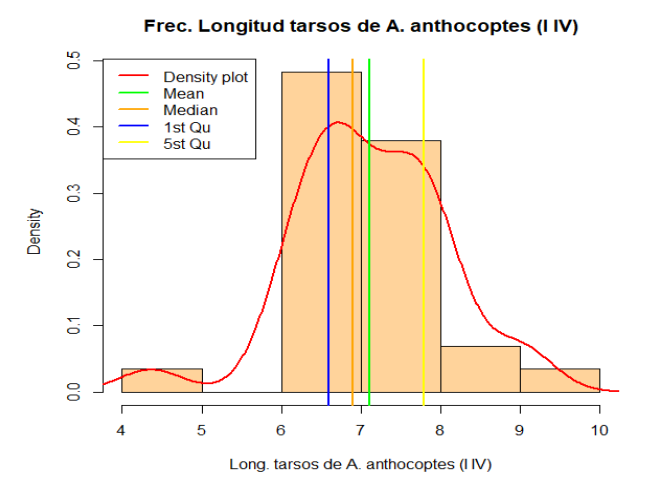


Figura 24. Datos estadísticos para la Var. Vestitum los de *C. arvense* en la localidad de Ivanjica.

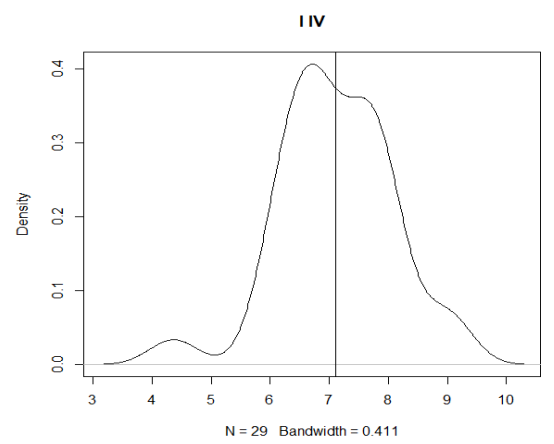
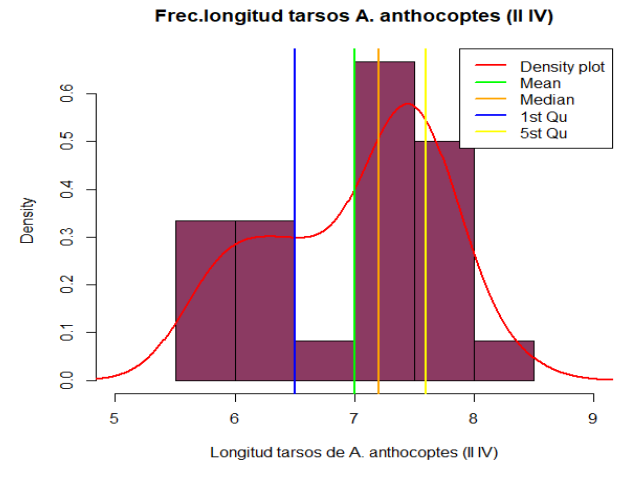


Figura 25. Asimetría de la distribución de datos.



N = 24 Bandwidth = 0.3382

Figura 17. Datos estadísticos para la Var. arvense los de *C. arvense* en la localidad de Ivanjica

Figura 18. Asimetría de la distribución de datos.

ANÁLISIS

Se realizó un análisis estadístico básico (medidas de tendencia central, dispersión y forma) para las variables 'body length', 'tubercles 1b apart' y 'tarsus I length', del artículo de Magund 2007. Basado en los resultados obtenidos por los autores, los ácaros (*Aceria anthocoptes*), de (I IV), mostraron las mayores longitudes de cuerpo, tubérculos y tarsos. Entre tanto, en I BK, se encontraron las especies con menores valores para estas variables. Al revisar las figuras 1, 10 y 19, correspondientes a los boxplot, se puede observar que la variedad vestitum de la localidad Bez*anijska Kosa fue la que presentó datos atípicos (outliers) para la distribución de las tres variables. Además, con relación a las desviaciones estándar (ver Tabla 1 en artículo), para cada variedad y localidad se constata que, para 'longitud del cuerpo' la distribución de los datos respecto a la media es bastante considerable si se compara con las otras dos variables, esto se puede corroborar con las figuras 3, 5 y 7 que muestran la asimetría de los datos. Se concluye entonces que, la morfología de *A. anthocoptes* varía dependiendo de las condiciones del hábitat donde se encuentre dado que, esto influye de forma directa en su adaptabilidad al medio.